



دانشگاه آزاد اسلامی



## ژئوترمومتری سیالات درگیر در زونهای مختلف دگرسانی – کانی‌سازی اندیس معدنی چاه شلغمی، شرق ایران

رضا ارجمندزاده، محمد حسن کریمپور، سید احمد مظاہری، ژوزه فرانسیسکو سانتوز، جرج مدینا،

سید مسعود همام

۱: گروه زمین‌شناسی، دانشگاه فردوسی مشهد

۲: گروه زمین‌شناسی، دانشگاه آویرو، پرتغال

چکیده:

منطقه اکتشافی چاهشلغمی در خراسان جنوبی و در کمربند آتشفشاری - نفوذی بلوک لوت قرار گرفته است. توده‌های نیمه عمیق گرانیتوئیدی مربوط به الیگومن، درون توالیهای آتشفشاری - پیروکلاستیک ائوسن نفوذ کرده‌اند. انواع کانیهای دگرسانی شامل آلونیت، ژاروسیت، کلریت، دیکیت، سریسیت، مونتموریولونیت، کوارتز و اکسیدهای آهن شناسایی شده‌اند. کانی‌سازی شامل پیریت، آرسنوبیریت، مولیبدنیت، کالکوبیریت، اسفالریت، گالن و انارژیت است. میزان دما و شوری بالای سیالات درگیر در زون دگرسانی سیلیس - کلریت می‌تواند در تعیین مرکز سیستم کانی‌سازی در اکتشافات بعدی مورد استفاده قرار گیرد. دما و شوری سیالات به سمت زون دگرسانی کوارتز حفره‌ای در حال کاهش است که احتمالاً نشان دهنده افزایش دخالت آبهای جوی می‌باشد. شواهد زمین‌شناسی، دگرسانی، کانی‌سازی و تحول سیالات هیدروترمال نشان دهنده کانی‌سازی اپیترمال سولفیداسیون بالا مرتبط با سیستم پورفیری عمقی در منطقه می‌باشد.

کلید واژه‌ها: بلوک لوت، آلونیت، سیالات درگیر، اپیترمال.

### **Fluid inclusion geothermometry of various alteration – mineralization zones of Chah-shaljami prospect, Eastern Iran**

, M.H. Karimpour<sup>1</sup>, S.A. Mazaheri<sup>1</sup>, J.F. Santos<sup>2</sup>, J.M. Medina<sup>2</sup>, \*R. Arjmandzadeh<sup>1</sup>

S.M. Homam<sup>1</sup>

۱: Department of Geology, Ferdowsi University of Mashhad, Iran

۲: Department of Geosciences, Geobiotec Research Unit, University of Aveiro, Portugal

E-mail: Arjmand176@gmail.com

#### **Abstract:**

Chahshaljami exploration area is located in the Southern Khorasan and belongs to the Lut Block volcanic-plutonic belt. Oligocene subvolcanic granitoids intruded in Eocene volcanic - volcaniclastic sequences. Alteration minerals include Alunite, Jarosite, Chlorite, Dickite, Sericite, Montmorillonite, Quartz and Iron Oxide. Mineralization includes pyrite, arsenopyrite, Molybdenite, Chalcocite, Sphalerite, Galena and enargite. High temperature – salinity of Fluid inclusions from sericite alteration is an indicator that can direct the next exploration toward the mineralization center. Temperature – salinity of Fluid inclusions decrease toward the vuggy quartz alteration which indicate the increase of the role of meteoric fluids. Geological, alteration, mineralization and hydrothermal fluids evolution evidences indicate the high-sulfidation epithermal mineralization related to the deep porphyry system in the area.

**Keywords:** Lut block, Alunite, fluid inclusion, epithermal.



دانشگاه آزاد اسلامی



## مقدمه:

نهشته‌های HS در بالا یا در حاشیه توده‌های نفوذی هستند که برخی از آنها ممکن است مرتبط با نهشته‌های مس - طلای پورفیری باشند. با کاهش فشار از سیالات صعود کننده مواد فرار مانگماهی شامل  $\text{SO}_4$ ,  $\text{HCl}$ ,  $\text{CO}_2$ ,  $\text{HF}$  از محلول خارج می‌شوند و با آب مانگماهی و یا آبهای زیرزمینی و اکسیژن واکنش می‌دهند و تمرکزهای بالایی از  $\text{H}_2\text{SO}_4$  را بوجود می‌آورند. سیالات شدیداً اسیدی که حاوی  $\text{HCl}$  و  $\text{SO}_4$  هستند یک هسته شده از سیلیکا باقیمانده با هاله‌ای از آلتراسیون آرژیلیک پیشرفته تشکیل می‌دهند.

منطقه اکتشافی چاهشلغمی در شمال غرب نقشه ۱:۲۵۰.۰۰۰ دهسلم - چاهوک و در کمربند آتشفسانی - نفوذی بلوک لوت قرار گرفته است (ارجمندزاده و همکاران، ۱۱-۲۰۱). هدف از این مطالعات بررسی تحول سیالات هیدروترمال در زونهای مختلف دگرسانی - کانی‌سازی منطقه اکتشافی چاهشلغمی با استفاده از مطالعه سیالات درگیر و در نهایت تعیین نوع و رخداد کانی‌سازی بخصوص تیپ سولفیداسیون بالا می‌باشد.

## روش مطالعه:

پس از مطالعات جامع زمین‌شناسی، دگرسانی، کانی‌سازی و ژئوشیمیابی، تعداد ۵ عدد مقطع دوبر صیقلی از زونهای مختلف دگرسانی - کانی‌سازی منطقه چاهشلغمی برای مطالعه سیالات درگیر تهیه و مطالعه شدند. تغییرات فازی در سیالات درگیر طی آزمایش گرمایش و سرمایش در دستگاه میکروسکوپی مجهز به پلاتین گرمایی - سرمایی در دانشگاه فردوسی مشهد اندازه‌گیری شد. دستگاه دارای صفحه نمایشگر بوده و قابلیت انجام آزمایش گرمایش و سرمایش را در یک مرحله دارد. میکروسکوپ دارای لنزی با بزرگنمایی  $100\times$  است که کیفیت و وضوح بسیار خوبی دارد. حداقل دمای قابل اندازه‌گیری با این دستگاه  $590^{\circ}\text{C}$  درجه است. در مجموع ۳۱ عدد سیال درگیر به روش گرمایش و ۸ عدد سیال درگیر نیز به روش سرمایش اندازه‌گیری شدند.

## بحث:

در نقشه زمین‌شناسی ۱:۵۰۰۰ منطقه چاهشلغمی (ارجمندزاده، پایان‌نامه دکتری)، استوکها و دایکهای مربوط به الیگومن پیشین، درون توالیهای آتشفسانی و آذرآواری ائوسن نفوذ کرده‌اند (شکل ۱). سنگهای آتشفسانی شامل آندزیت، آندزیت بازالت، کریستال توف و توف سبز بوده و سنگهای نفوذی شامل کوارتز مونزودیوریت، پیروکسن هورنبلند بیوتیت کوارتز مونزونیت، هورنبلند بیوتیت کوارتز مونزونیت، هورنبلند کوارتز مونزونیت، بیوتیت کوارتز مونزونیت، کوارتز مونزونیت، هورنبلند بیوتیت گرانودیوریت، هورنبلند بیوتیت گرانودیوریت هستند.

بر اساس پردازش داده‌های ماهواره آستر، هاله دگرسانی بصورت یک زون گستره و بیضوی شکل با ابعاد حدود  $1 \times 3$  کیلومتر است (شکل ۲) و کانیهای دگرسانی شامل آلونیت، ژاروسیت، دو نوع کلریت غنی از آهن و غنی از منیزیوم، دیکیت، سریسیت، مونتموریلونیت، کوارتز و اکسیدهای آهن می‌باشند (کریمپور و همکاران، ۲۰۰۹).

پیریت همراه با کمی آرسنوبیریت بصورت ریز بلور و پراکنده همراه با دگرسانی سیلیسی بوده و در برخی از رگچه‌ها مولیبدنیت، کالکوپیریت، اسفاللریت، گالن و انارژیت مشاهده می‌شود.

- بر اساس نوع و نسبت فازهای شناخته شده، سیالات درگیر را می‌توان به سه گروه اصلی غنی از سیال (نوع I)، غنی از بخار (نوع II) و چند فازی (نوع III) تقسیم نمود (شکل ۳).

- بیشترین تنوع سیالات درگیر، مربوط به زون دگرسانی سیلیس - کلریت است و انواع IIa, IIb, IIIa و IIIb در این زون شناسایی شده‌اند.

- در مجموع تنوع و تعداد سیالات درگیر در منطقه اکتشافی چاهشلغمی نسبت به منطقه اکتشافی دهسلم، بسیار کمتر است.



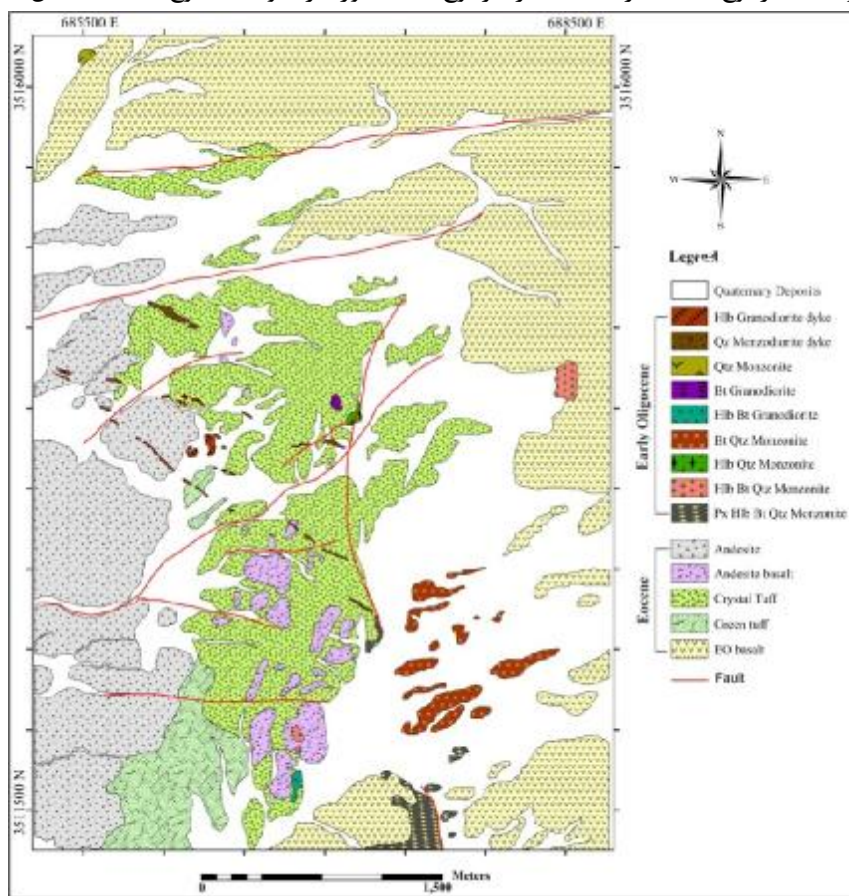
دانشگاه آزاد اسلامی



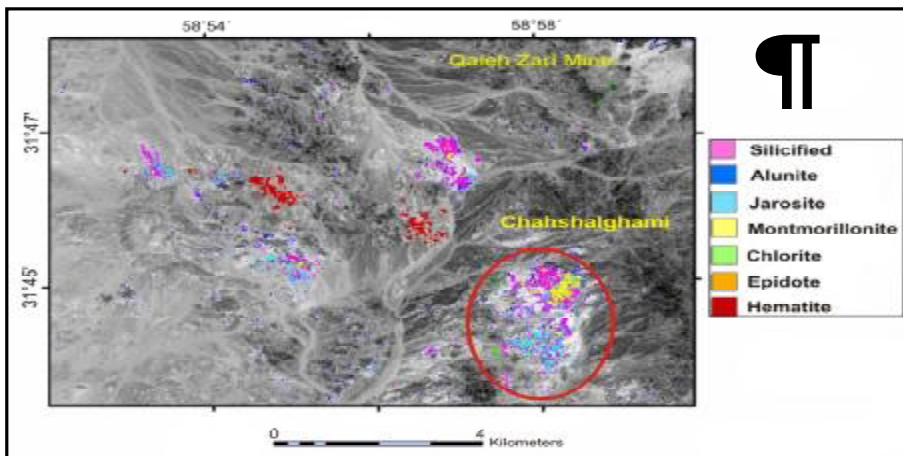
درویش هنر اسلامی و میراث اسلامی ایران

۱۶-۱۷ آوریل ۱۳۹۴

- کانیهای دختر شفاف از نوع هالیت در سیالات درگیر نوع III حضور دارند و فاقد تنوع هستند (شکل ۳).

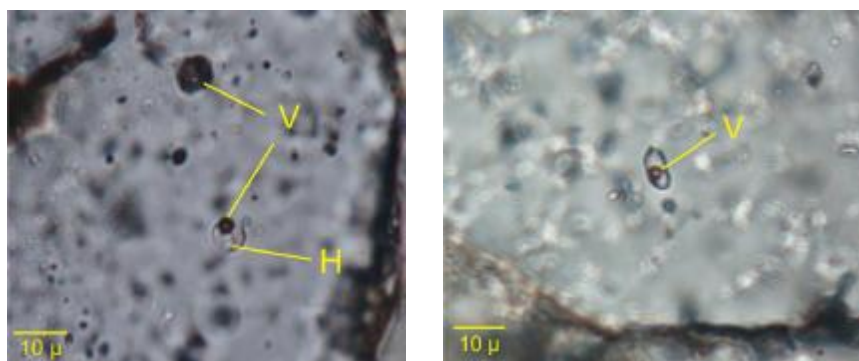


شکل ۱: نقشه زمین‌شناسی ۱:۵۰۰۰ منطقه چاه‌سلعی (رجمندزاده، پایان‌نامه دکتری).



شکل ۲: هاله اصلی و انواع کانیهای دگرسانی در منطقه چاهشلغمی (کریمپور و همکاران، ۲۰۰۹).

- حضور سیالات درگیر نوع II و III در کنار هم در نتیجه رخداد جوشش می‌باشد. از آنجا که اینگونه سیالات در امتداد منحنی جوشش به دام می‌افتد تصحیح فشار لازم خواهد بود و دمای همگن شدن همان دمای بدام افتادن سیال درگیر خواهد بود (رامبوز و همکاران، ۱۹۸۲).
- حضور سیالات درگیر غنی از مایع یا نوع I و غنی از بخار یا نوع II در کنار هم می‌تواند در نتیجه رخداد جوشش و اختلاط محلولهای با شوری بالا و پایین باشد.



شکل ۳: سیال درگیر نوع I (سمت راست) و همزیستی نوع III و II (سمت چپ)

دماسنجدی و تعیین شوری سیالات درگیر:

زون دگرسانی سیلیس - کلریت:

دمای همگن شدن فاز بخار سیالات درگیر نوع IIIa در این زون  $359^{\circ}\text{C}$  تا  $295^{\circ}\text{C}$  و فاز نمک  $375^{\circ}\text{C}$  تا  $470^{\circ}\text{C}$  می‌باشد. شوری سیالات درگیر نوع IIIa بالا بوده و از  $44/8$  تا  $55/5$  درصد وزنی در تغییر است و همگن شدن در این نوع سیالات درگیر با انحلال هالیت رخ می‌دهد. دمای همگن شدن سیالات درگیر نوع IIb از انواع دیگر سیالات درگیر بالاتر بوده و از  $500^{\circ}\text{C}$  تا  $560^{\circ}\text{C}$  در تغییر است. همگن شدن با انحلال هالیت نشان دهنده بدام افتادن سیال شور اشیاع از هالیت (ویلسون و همکاران، ۱۹۸۰) است. دمای همگن شدن سیالات درگیر نوع Ib بین  $400^{\circ}\text{C}$  تا  $470^{\circ}\text{C}$  اشیاع از هالیت (ویلسون و همکاران، ۱۹۸۰) است. دمای همگن شدن سیالات درگیر نوع Ib بین  $400^{\circ}\text{C}$  تا  $470^{\circ}\text{C}$  با مقدار میانگین  $425^{\circ}\text{C}$  می‌باشد (شکل ۴). داده‌های سرمایشی در این سیالات درگیر نشان دهنده مقدار  $22/9^{\circ}\text{C}$



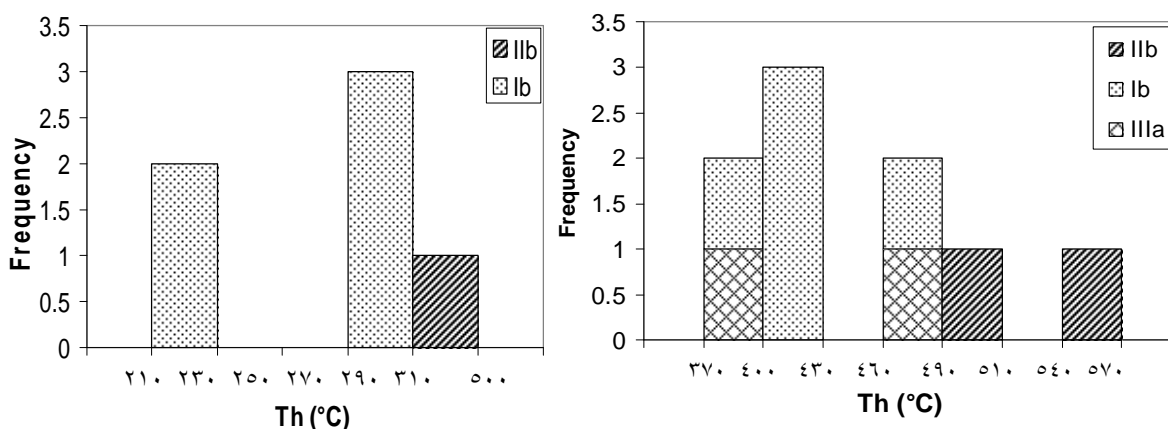
$T_m = -7^{\circ}\text{C}$  تا  $-8^{\circ}\text{C}$  است که منطبق با حضور فازهای نمک NaCl و KCl به مقدار  $13/9$  تا  $15/5$  درصد وزنی می‌باشد. بیشترین دمای همگن شدن و شوری اندازه‌گیری شده در منطقه چاه‌لغمی مربوط به زون دگرسانی سیلیسی - کلریت است و با توجه به اینکه این نمونه، نزدیک به توده‌های نفوذی تشکیل شده است، بنظر می‌رسد که موقعیت آن به منبع سیالات هیدروترمال و مرکز سیستم کانی‌سازی نزدیکتر است.

#### زون دگرسانی سیلیسی - دیکیت:

دمای همگن شدن سیالات درگیر نوع Ib در این زون  $300^{\circ}\text{C}$  و دمای همگن شدن سیالات درگیر نوع Ib نیز بین  $215^{\circ}\text{C}$  تا  $290^{\circ}\text{C}$  با مقدار میانگین  $257^{\circ}\text{C}$  می‌باشد (شکل ۴). داده‌های سرمایشی در سیالات درگیر Ib نشان دهنده مقدار  $T_m = -5^{\circ}\text{C}$  تا  $-5/5^{\circ}\text{C}$  است که منطبق با حضور فازهای نمک NaCl و KCl به مقدار  $10/3$  تا  $11/2$  درصد وزنی می‌باشد. بطور کلی دیکیت در دماهای  $120^{\circ}\text{C}$  تا  $280^{\circ}\text{C}$  و pH کمتر از ۴ تا ۵ پایدار است (هدنکویست و همکاران، ۱۹۹۴).

#### زون کوارتز حفره‌ای:

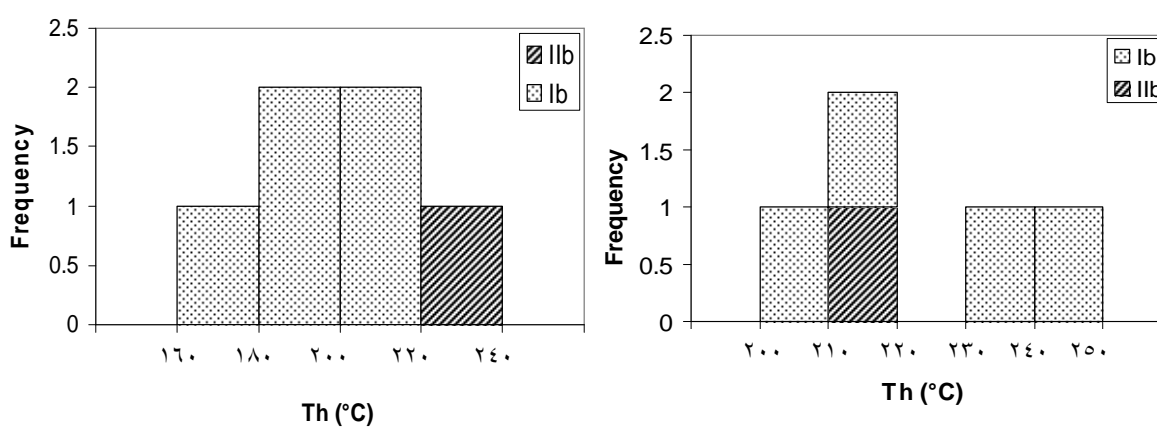
دمای همگن شدن سیالات درگیر نوع Ib در این زون  $230^{\circ}\text{C}$  و دمای همگن شدن سیالات درگیر نوع Ib نیز بین  $170^{\circ}\text{C}$  تا  $215^{\circ}\text{C}$  با مقدار میانگین  $191^{\circ}\text{C}$  می‌باشد (شکل ۵). داده‌های سرمایشی در سیالات درگیر Ib نشان دهنده مقدار  $T_m = -2/5^{\circ}\text{C}$  تا  $-3^{\circ}\text{C}$  است که منطبق با حضور فاز نمک NaCl و KCl به مقدار  $5/3$  تا  $6/3$  درصد وزنی می‌باشد.



شکل ۴: هیستوگرام فراوانی دمای همگن شدن انواع سیالات درگیر در زون دگرسانی سیلیسی - کلریت (سمت راست) و زون دگرسانی سیلیسی - دیکیت (سمت چپ).

#### زون سیلیسی توده‌ای:

دمای همگن شدن سیال درگیر نوع IIb در این زون  $220^{\circ}\text{C}$  و دمای همگن شدن سیالات درگیر نوع Ib نیز بین  $200^{\circ}\text{C}$  تا  $250^{\circ}\text{C}$  می‌باشد (شکل ۵). داده‌های سرمایشی در سیالات درگیر Ib نشان دهنده مقدار  $T_m = -22/9^{\circ}\text{C}$  و  $T_{fm} = -4^{\circ}\text{C}$  است که منطبق با حضور فاز نمک NaCl و KCl به مقدار  $8/4$  درصد وزنی می‌باشد.

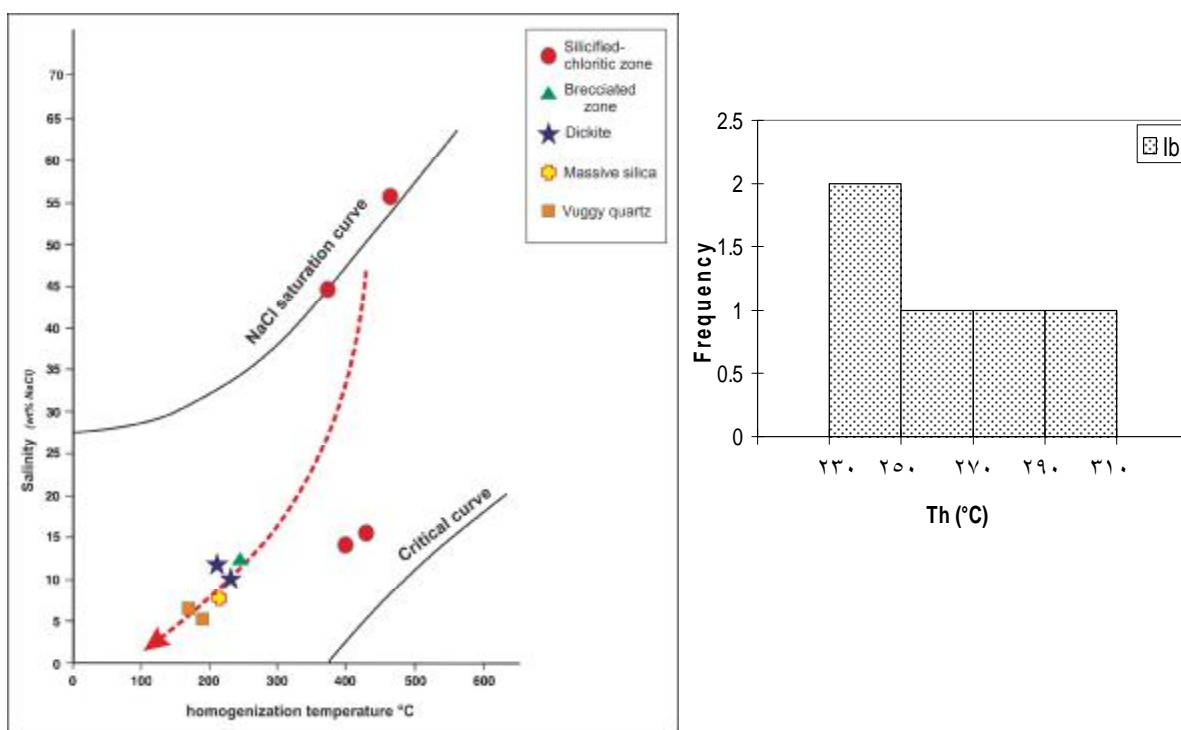




شکل ۵: هیستوگرام فراوانی دمای همگن شدن انواع سیالات درگیر در زون سیلیس توده‌ای (سمت راست) و زون دگرسانی کوارتز حفره‌ای (سمت چپ).

#### زون برش هیدروترمال:

دمای همگن شدن سیالات درگیر Ib در این زون بین  $240^{\circ}\text{C}$  تا  $295^{\circ}\text{C}$  با مقدار میانگین  $266^{\circ}\text{C}$  می‌باشد (شکل ۶). داده‌های سرمایشی در سیالات درگیر Ib نشان دهنده مقدار  $T_m = -22/9^{\circ}\text{C}$  و  $T_{fm} = -6^{\circ}\text{C}$  است که منطبق با حضور فاز نمک NaCl و KCl به مقدار  $12/1$  درصد وزنی می‌باشد. در نمودار شوری - دمای همگن شدن سیالات درگیر زونهای مختلف دگرسانی - کانی‌سازی منطقه اکتشافی چاهشلغمی. میزان دما و شوری سیالات درگیر به سمت زونهای دگرسانی کوارتز حفره‌ای در حال کاهش است که احتمالاً نشان دهنده افزایش دخالت آبهای جوی در تشکیل آنها می‌باشد (شکل ۶).



شکل ۶: هیستوگرام فراوانی دمای همگن شدن انواع سیالات درگیر در زون برش هیدروترمال (سمت راست). نمودار شوری - دمای همگن شدن سیالات درگیر زونهای مختلف دگرسانی - کانی‌سازی منطقه اکتشافی چاهشلغمی (سمت چپ).

#### نتیجه:

هاله‌های دگرسانی و کانی‌سازی در منطقه چاهشلغمی دارای زون‌بندی منظمی هستند و انطباق زیادی با کانسارهای اپی‌ترمال سولفیداسیون بالا دارند که مربوط به افقهای فوقانی ذخایر مس - طلای پورفیری می‌باشند. دمای شوری - های پایین سیالات درگیر در اغلب زونهای مختلف دگرسانی - کانی‌سازی با مقادیر بدست آمده از سایر نهشته‌های



دانشگاه آزاد اسلامی



اپیترمال سولفیداسیون بالا مطابقت دارند. فرایندهای مختلفی مانند جوشش، نآمیختگی سیالات، سرد شدن و رقیق شدگی توسط آبها جوی طی تحول سیالات موثر بوده‌اند. شواهد زمین‌شناسی، دگرسانی، کانی‌سازی و تحول سیالات هیدروترمال نشان دهنده کانی‌سازی سیستم اپیترمال سولفیداسیون بالا مرتبط با سیستم پورفیری عمقی در منطقه می‌باشد.

### References:

- Arjmandzadeh, R., Karimpour, M.H., Mazaheri, S.A., Santos, J.F., Medina, J., Homam, S.M., ۲۰۱۱. Sr–Nd isotope geochemistry and petrogenesis of the Chah-Shaljami granitoids (Lut Block, Eastern Iran). *Journal of Asian Earth Sciences* ۴۱: ۲۸۳–۲۹۶.
- Hedenquist, J.W., Aoki, M., and Shinohara, H., ۱۹۹۴. Flux of volatiles and ore-forming metals from the magmatic-hydrothermal system of Satsuma Iwojima volcano: *Geology*, v. ۲۲, p. ۵۸۵–۵۸۸.
- Karimpour, M.H., Stern, C.R., ۲۰۰۹. Advanced spaceborne thermal emission and reflection radiometer mineral mapping to discriminate high sulfidation, reduced intrusion related and iron oxide gold deposits, Eastern Iran. *Journal of Applied Sciences* ۹ (۵): ۸۱۵–۸۲۸.
- Ramboz, C., Pichavant, M., and Weisbrod, A., ۱۹۸۲. Fluid immiscibility in natural processes Use and misuse of fluid inclusion data. II-Interpretation of fluid inclusions data in terms of immiscibility: *Chem. Geology*, v. ۳۷, p. ۲۹–۴۸.
- Wilson, J. W., Kesler, S. E., Clöke, P. L., and Kelly, W. C., ۱۹۸۰. Fluid inclusion geochemistry in the Granisle and Bell porphyry copper deposits, British Columbia: *Econ. Geol.*, v. ۷۵, p. ۴۵–۶۱.